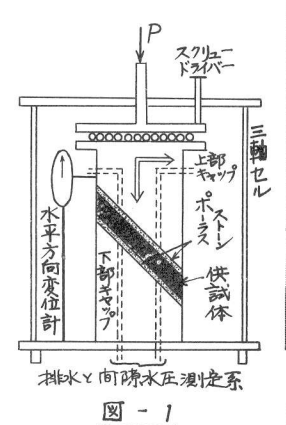
京都大学工学部 正員。柴田 徹京都大学大学院 学生员 星野 满

現在、土の応力と変形あるいは強度を調べるために、多くの場合、三軸試験や一面せん断試験が行
をわれている。しかしこれらの試験では供試体中の応力や変形が一様でないために、例えば simpleshear 等の試験機が用発研究されつつある。ここに述べる三軸 slice 試験機は、三軸 cell 中で試験される 供試体に uniform strain condition を与えること、およびせん断面に発生する 同僚水圧を正確に 把握することを主目的として、Norwegian Geotechnical Institute において5年程前に用発されたもので、
供試体の厚さが1 cm程度の法、楕円板状であるところから、そり名前がつけられている。この試験機を用いて、練匠し再圧窓した粘土試料の強度や変形の问題を調べた結果を以下に中間報告するが、使用した試験機はN.G.I.で試作まれた1台を、共同研究用として借用し若干の改良を加えたものであることをやめお析りしておく。

1. 試験機の概略

三軸sliceせん断試験機の概略は図ー1に示すようであって、直径約5cmの円柱を45度面で斜めに切断した楕円板状の供試体に、上下のperous stoneを守して電直応力とせん断応力を載荷できるように工夫されている。すなわち通常の三軸圧縮試験と同様の操作で鉛直方向に載荷すると、上部cap が鉛直水平の2方向に移動して(下部cap は固定)後述の図ー3中に示したようなせん断変形が与えられる。この時の鉛直と水平変



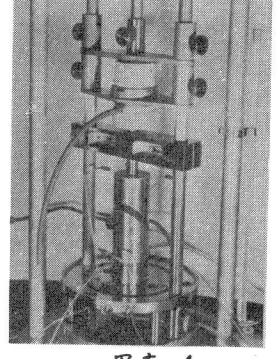


写真-1

位を dial gauge ハより、また porrous-stone を通じて 同僚水圧をそれぞれ割 是する。 供試体の厚さは/3 mm で金水距離が短かいために、せん断面丘傍の 同僚水圧がほぼ正確に測定できると考えられる。 なおせん断に先とって 三軸 cell 中で圧察する際には、上部 cap の水平移動が生じないように clamp され、圧塞が完了すると図ー1中の screw driverを cell 外部から操作して clamp をはずし、上部 cap が水平可動の状態とする。写真一1は供試体の 成形過程を、写真一2 は芽方圧窓過程を示しており、いずれも供試体が黒い帯状にみえる。

2. 試料 x 試験法

使用した試料はその物性を表-1ド示すような2 複類の粘性土である。試料A(Kaolin)では含水比如 %(液性指数28%) に調整して練返したものを直径

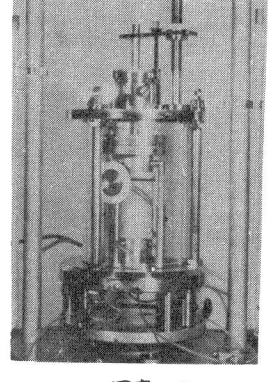


写真-2

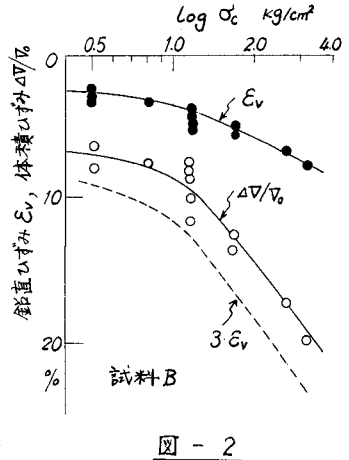
		100		/		
試料	粘土分%	LL %	PL %	PI %	Gs	活性度
Α	38	47.5	37.2	10.3	2.70	0.54
В	32	36.0	25.6	10.4	2.74	0.45

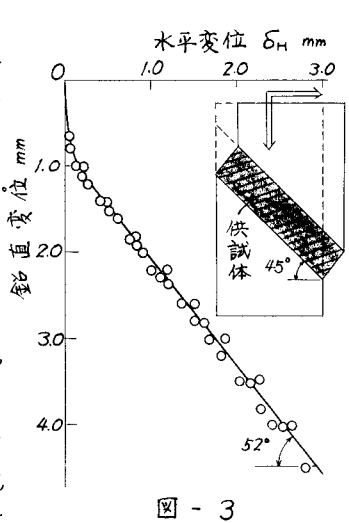
約5 cmのmould 外で突き固めたのち、slice試験用に成形した。また 試料Bでは LL 以上の含水比で練返したのち、試料作成用大型ring 中で圧碌し、0.5 kg/cm で圧密が終了したものをパラフィンで包んで約 1ヵ月間、恒温量攻で養生したものを試験に用いた。

Slica試験の方法はすべて圧屈非構水状態で、定変位および定荷重式のせん断を行なったほか、6.で述べるせん断りリープ試験も実施した。鉛直方向の変位速さは1.7mm/Artとし、試料並びに同際水圧割 是系を飽和させるために、すべて2.0kg/cm²のback pressure を加えた。また Slice試験と他の試験結果を比較するために、通常の三軸圧縮がよび一面せん断試験を行なった。

図-2 は 芽方圧 鬼にょる体積変化 Y 圧 塞圧力の 関係を示すもので、 図には体積 ひずみ ΔV/ひ Y 鉛直方向 ひずみ Ev の 実測値および ΔV/ひ=3·Ev × 仮走して計算で求めた曲線が併記してある。これ によれば ΔV/ひの 定測値は 3·Ev — 曲線よりも上側に polot まれ、供 試体の端面拘束の影響があらわれているもの Y 考えられる。試みに (4) / 0 ΔV/vo X Ev から側方 ひずみ En を 连算して みると En ≈ 0.7·Ev と 53・型

次にこの試験機によるせん断中の鉛直変位 SV と上部 cap (する を わる 供試体上面)の水平変位 SH の推移は 図ー 3のようであって, は 化断初期の SH が SV に軽べて小2、部分を除けば, 広範囲にわたって SV/SH-比は一定となる。しかもこの関係は試料, 圧宏圧力, 応力履歴のいかんに拘らず, すべて 図ー 3の曲線上に plat 2 れた (懐置の設計は 図ー 3の SH が 4 mm まで可能である)。 仮りに Simpla-Shear が生じていると、 SH~ SV 曲線は 45度線に浴りはずであるが, 実際にはいずれの 場合も約52度であった。この 角度の差に, せん断

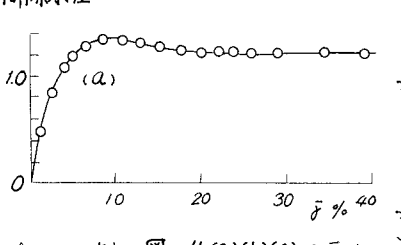




ド伴なう供試体の側方膨脹によるものと考えられ、その値は試料径の2%以下と小さいが、なお理想的なせん断変形を生じさせるために、現在は slice 供試体の設置角度を 45次以上に変える試みがある。

3. 応力, ひずみ, 間際水圧

圧密非排水三軸
slice試験によるせん断応力で、有効
垂直応力で、およ
いて/の、比をせん



断りずみ で パ対して plot した例が図-4(a)(b)(c) た示してある。 ただしで は2.で述べたようを供談体の側を膨張量で考慮していないので、真の値とけいえないが、この報告では せん断ひずみ量を表わす指標として用いている。

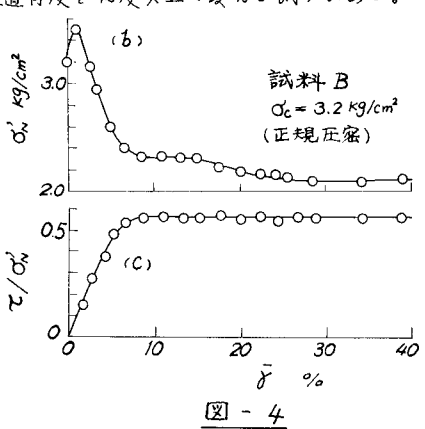
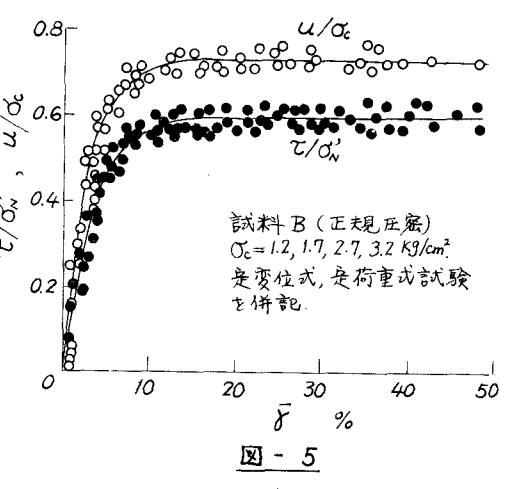


図-4はいずみの進行に伴なうでの推移や、
で/の。(= tan g')の modilization を明瞳に読み取れるので、このようを資料の集積は貴重である。また
測定の精度と低下でせずに供試体に大変形を与える
ことは、例えば ring-shearのようを持殊な振置を除いて困難とよれているが、slice試験機では図ー4よりりかるようにでの終局値まで求めうるので、粘
しの残留強度を調べるための試験にも利用できる。

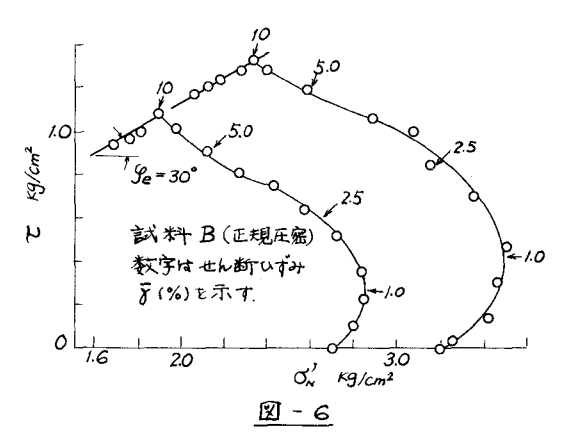
図-5は正規圧宏粘土(試料B) について, 圧宏 圧力 の, 載荷方式(定変位と定荷重式)の異なる 一連のsliu試験結果を て/のと U/の~ その関係に



plはしたものである。たむし以は 同僚水圧。 測定値に若干の幅のあることは避けられないが、圧窟圧力と 載荷方式の相異に拘らずそれぞれ単一の曲線上にのるとかられるので、 従来数名の人産によって主張をれているように、 $\gamma = f(\sqrt[r]{r})$ がよび $\mu = g(\gamma)$ の 関係が成立すると思われる。 ただし f、 γ はそれぞれ 関数。 なが 曲線の形は異なるが、 試料 γ についても 同様の結果がえられている。

4. Hvorslevの有効内部摩擦角

同一の粘土試料について三軸sliceと通常の三軸圧縮試験を行ない、それぞれのvector-curveを描いて気付くことは、前者では(T/J)max あるいは T_{max} を過ぎてからの曲線に、かなり 明瞭な直線部分が表われることである。通常の三軸試験でも過圧窓比の高いものはこの現象がみられることがあるので、その直線部分を利用すれば Hvorslav の有効粘着力 Ce 、 内部摩擦角 Ge を求め)ると Simons Simons



5. 他のせん断試験との比較

sliceせん断と三軸圧縮および一面せん断試験を確々の臭より比較しているが、ここではせん断強度 T_f について述べる。 図- 7は試料 A、Bに関する結果をすとめたものであり、試料 Aでは T_{max} があらわれないので、 $T_f \sim 0$ 、関係は $(T/O_N)_{max}$ 一線の包絡線として示してある。 また一面せん断試験 は同じ試料につき 定体積方式で行なわれた対山栗原の結果が引用してある。試料 Bの一面せん断は非

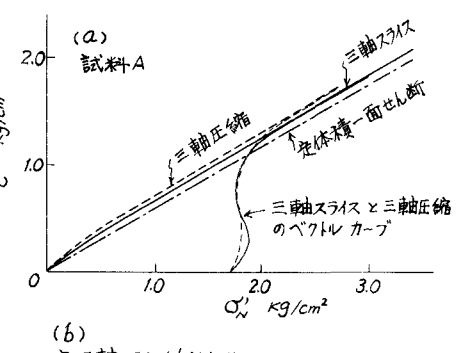
排水の走垂直荷重方式で行ち、たので全応力表示の比較がしてある。これらの図によれば Tfに関しては、三種類の試験は同じ y'を、またslice試験と一面せん断試験は同じ ycu を与えるものと結論してよいであるう。しかし破壊を生じるまでの小変位部分では、slice試験と通常の三軸試験の vector-curve が図ー 7(a) に示したように一致する場合と一致しない場合(試料B, 図者略)があった。

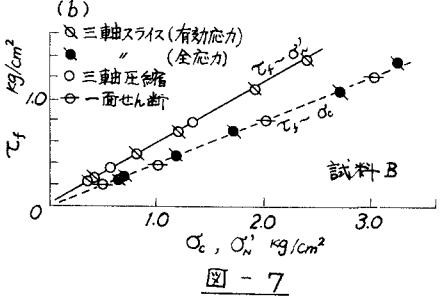
6. 1リープ破壊(非排水長期強度)

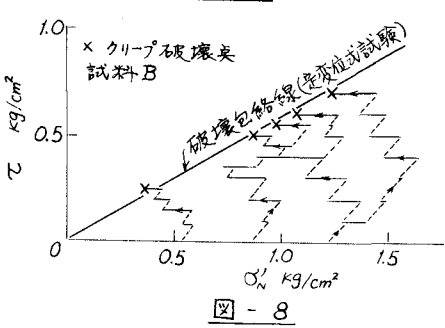
松土に一定荷重を載荷したまま放置しておくと,変 形が時間の経過とともに増加して遂に破壊する場合と そうでない場合がある。このようなクリープ破壊現象 の研究は性素からなされているが、その大部分は破壊 ド至3までの有効応力が不明なために, 試験結果9解 析には限度があるように思われる。このslice試験では 破機時のせん断面上の同僚水圧を追跡できるので、非株 水長期強度を有効応力で整理した。 試験法はせん断応 カでもある値まで段階的に上昇したのち、そのでも 長時間一定に保って変形、

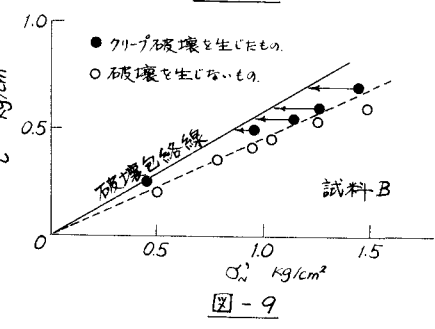
「臍水圧の経時変化を測定す N 3. 図-8はこの試験による有効応力軌跡であり、せん 断変形が急増する臭もクリープ破壊と是義して×印で表 わしてある。×印は走変位試験より求まる破壊包絡線と よく一致することから、有効応力で考えるとクリープ破 壊もまた他の破壊条件と同じ法則に支配はれるとしてよ い。この現象はケリープあるいはケリープ破壊が少なく ともてとのの影響を受けることを示している。

さて非排水状態のまま持続荷室が載荷されたときに, 将末破壊の有無を予測できれば有意義である。上限降伏値の提案もかかる目的をもったものであるが, ここでは 図ータのような軽理をした。すなわち一定応力が載荷さ









れた時の初期状態を て~の20 図上にplot し、その一定応力に対して破壊を生じたものを・印、破壊を生じなかったものを・印にて区別してある。図中の矢印は・記号の長がの20 の減力に伴をって破壊包絡線に到達することを示す。図ータによれば・との印辟の向には境界線(美線)を引くことが可能であり、この美線と水平との角度が25°、かっダ=30°であるから tan25°/tan30°=0.78となる。すをわまでが、0.78×tan3°5リも大きく、かっ排水が許されなければ将来破壊の可能性があると判断できよう。

1) N.E. Simons; N.G.I. Publication No. 35, p. 35, 1960. 2)村山,栗庫;土木子公园面支部請食隼, p. 169, J服. 41.